

東北大学工学部 学生員 ○柏原賛和  
中国建築材料科学研究院 住子明  
東北大学工学部 佐武正雄

### 1. まえがき

近年、中国においては、毎年セメント需要に対して生産量が数百万t不足している状態にある。これを補う一手段として、火力発電所の廃棄物のフライアッシュをセメント及びコンクリートの製造に使用する研究が盛んに行われている。また、AE法は、コンクリートの力学特性の研究に導入されており、その時期が比較的新しいことから、AE特性にはまだ不明な点が多く、今後より一層の研究が必要である。このように観点から本文は、フライアッシュセメントを使用したコンクリートのAE特性について考察したものである。

### 2. 実験方法

実験には、 $\phi 10\text{cm} \times 20\text{cm}$  の円柱供試体を用い、セメントは普通ポルトランドセメントを使用した。また、各配合についてそれぞれ材令を7日、28日、56日とした上で、合計9種類の供試体について、荷重速度 $20\text{kN/sec}$  下で軸圧縮試験を行った。載荷方法は、供試体の端面にグリースを塗布し、載荷板と供試体の間にテフロンシートとゴムシートを挿入して間接載荷とした。また、実験に使用されたAE計測システムのブロックダイヤグラムを図-1に示す。

### 3. 実験結果

図-2は、AE事象総数と材令の関係、図-3は、破壊に至るまでに発生するAEの最大エネルギー比と材令の関係、図-4は、圧縮強度と材令の関係をそれぞれ配合A、B、Cについて各3本ずつ供試体の平均値で示したものである。また、図5～7は、それぞれA、B、Cの材令56日における応力レベルの変化に伴うAEエネルギー分布の変化を例として示したものである。ここで、図中の%は、破壊応力に対する載荷応力の比を表す。

### 4. 考察

図-2を見ると、配合B、C即ち、フライアッシュセメントを使用したコンクリートについては、材令が長くなるにつれてAE事象総数は増加する。フライアッシュを添加しない配合Aよりも、材令7日～28日の間は増加するが、28日～56日の間では、逆に若干ではあるが減少する。また、どの材令についてもAE事象総数は、配合A、B、Cの順で減少していく。即ち、材令が同じであれば、フライアッシュの添加量が多い程、AE

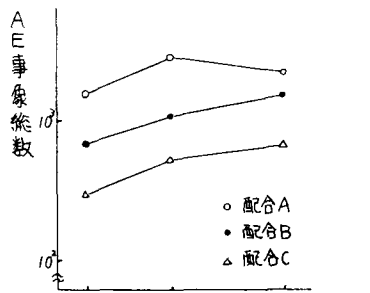


図-2 AE事象総数と材令の関係

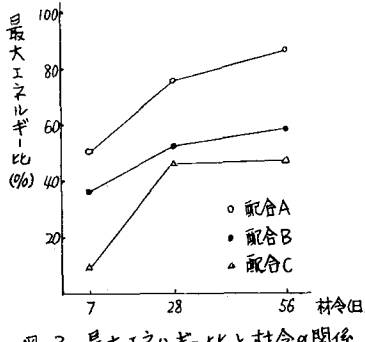


図-3 最大エネルギー比と材令の関係

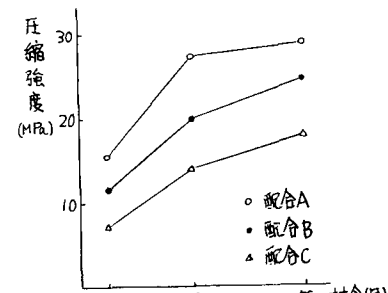


図-4 圧縮強度と材令の関係

事象総数は少くない。図-3を見ると、配合A, B, C全てのものについて、最大エネルギー-比は、材令が長くなるにつれて高くなり、図-2の場合と同様、材令が同じであれば、フライアッシュ添加量が多い程最大エネルギー-比は低くなる。図-4についても全く同様の傾向が見られる。山崎ら<sup>1)</sup>、25%のフライアッシュを添加したコンクリートの強度が、フライアッシュを添加しないものと同等になるとまでいふ。良質なフライアッシュで2~6ヶ月、粗粒のものでは1年以上かかると指摘しているが、本文で述べた実験結果に全て、こういうなフライアッシュセメントを使用したコンクリートの性質に関するあらざと考らわれた。図-5~7は、それまでの配合A, B, Cの材令56日におけるAEエネルギー分布の代表例であるが、破裂時に発生するAEの最大エネルギー-比を見ると、図-3において述べたように、配合A, B, Cの順にそれぞれ約90%, 40%, 30%と低くなる。また、破裂時に発生するAEエネルギー分布の山の面積は、AE事象総数を表すのであるが、これらも図-2で述べたように、配合A, B, Cの順にこの山の面積が小さくなる。即ち、AE事象総数が減少していくのがわかる。次に、図-5~7で示すのは、AEエネルギー-比に対するAEの発生割合である。すなば、 $\%_{\text{AE}} = 90\%$ を越え、破裂近くになると、最大エネルギー-比に対して1%以上の高いエネルギー-比でもAEが発生する。図-8は、AE事象総数と荷重の関係の一例を示したものであるが、これを見ると、AE事象総数は破裂附近から急激に立ち上がり振子がゆかる。こうする傾向は、材令、配合によらず全ての供試体において現れた。すなば、図-5~7で、 $\%_{\text{AE}} = 90\%$ を越えた後、山の面積が急激に大きくなることを意味している。ここでフライアッシュの化学成分については、主にSiO<sub>2</sub>とAl<sub>2</sub>O<sub>3</sub>であるが、これは普通及が早強ポルトランドセメントの主な化学成分と共通である。従ってコンクリートの硬化過程中の水和反応などは、類似していると思われる。また昨年、早強ポルトランドセメントを使用したコンクリートに関する、AEエネルギー分布と微視的破裂特徴がよく対応していることを明かにしているが、これらのことと今回の実験で、AEエネルギー分布の変化が、フライアッシュ添加量に關係なくほぼ同様の傾向を示したことより、フライアッシュセメントを使用したコンクリートに於ても、その破裂レベルでAEエネルギー-比が変化する程度予測することが可能ではないかと考えられる。なお、本研究については、東北大学土木工学科材料力学研究室の新聞茂・石見政男両氏の協力を得たことを記し、謝意を表します。

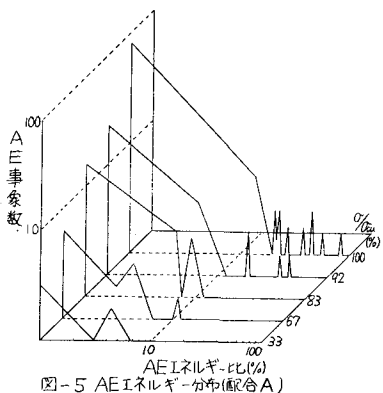


図-5 AEエネルギー-分布(配合A)

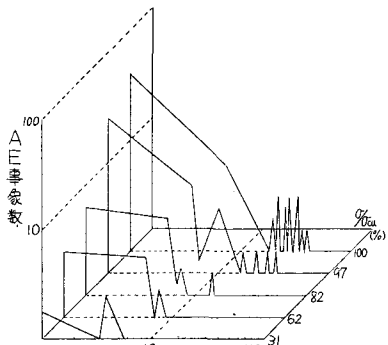


図-6 AEエネルギー-分布(配合B)

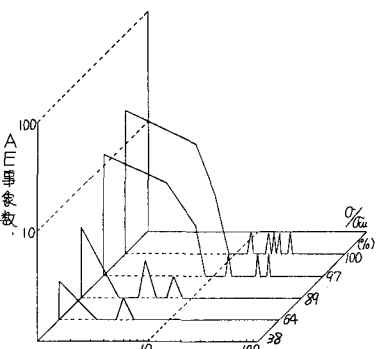


図-7 AEエネルギー-分布(配合C)

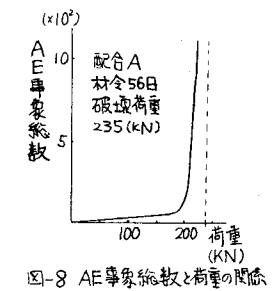


図-8 AE事象総数と荷重の関係

## 参考文献

- 1) 王幼云、任子明：中国のセメント工業 Gypsum & Lime NO. 184 1983 pp. 145~150
- 2) 山崎寛司、佐藤謙：コンクリート工学 VOL. 19 NO. 11 1981 pp. 68~74
- 3) 相原賛和、佐武正雄、新聞茂：土木学会第38回年次学術講演会講演集 ▶ 1983 pp. 13~14